

## دراسة وتحليل الإشعاع الشمسي على سطح أفقى بالمجاهيرية (نتائج أولية)\*

\* المدنى أبو القاسم دخيل ، يوسف مولود حسن ، أميمة محمد الفوراوي

### 1- مقدمة

من المهم توفر بيانات عن الإشعاع الشمسي في موقع معين حتى يمكن الاستفادة منها في تصميم المنظومات والأجهزة الشمسية وهذا يتطلب معلومات كافية عن مميزات وخصائص الإشعاع الشمسي في الموقع المراد استخدام المنظومة الشمسية فيه، وللسبب الذي ذكر أعلاه، تزايد الاهتمام بدراسة الطاقة الشمسية وتطبيقاتها بالمجاهيرية وأصبح من الضروري دراسة الإشعاع الشمسي المقاس عملياً خلال السنة وتحليله.

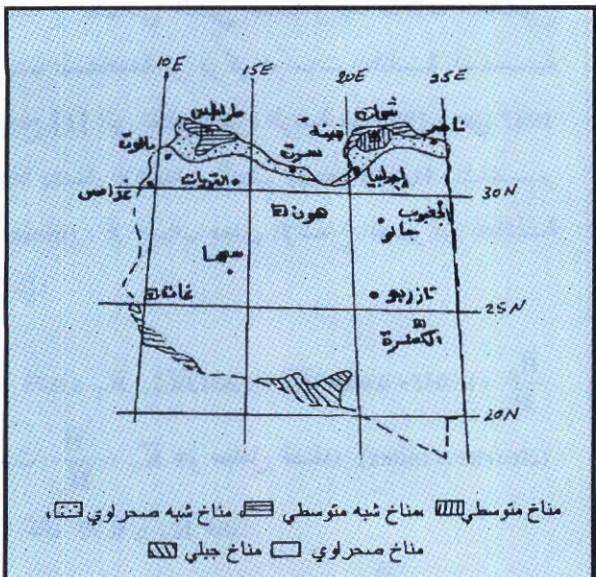
### 2. طرق التقدير:

المعدل الشهري للقيم اليومية للإشعاع الشمسي خلوج الغلاف الجوي  $\bar{H}_0$  بالإضافة إلى طول النهار  $\bar{N}$  متغيرات غایة في الأهمية عند تقدير قيم الإشعاع الكلي أو المنتشر في موقع معين. ويمكن حساب المعدل الشهري للإشعاع الشمسي خارج الغلاف الجوي من المعادلة [2] :

$$\bar{H}_0 = \frac{1}{m_2 - m_1} \sum_{n=m_1}^{m_2} (H_n) \quad (1)$$

حيث  $m_2, m_1$  هما يوماً السنة عند بداية ونهاية الشهر ،  $(H_n)$  الإشعاع الشمسي خارج الغلاف الجوي لليوم  $n$  من السنة والذي يمكن حسابه من المعادلة [2] :

توفر لدينا بيانات للإشعاع الشمسي الكلى (global solar radiation) اليومية والمتوسطات الشهرية لها وفترة سطوع الشمس (sunshine duration) المقاسة لمدة سبع سنوات للفترة من 1981 إلى 1987 لخمس عشرة محطة [1] (الخريطة شكل 1).  
وحيث أن مناخ المجاهيرية ينقسم إلى خمسة أنواع: متوسطي وشبه متوسطي ، جبلي ، شبه صحراوي وصحراوي وهو المناخ الغالب وعليه تم اختيار خمس مناطق من الخمس عشرة السابق ذكرها لتمثيل المجاهيرية طرابلس وشحات في الشمال ، هون في الوسط ، الكفرة وغات في الجنوب . يوضح الجدول (1) الموقع الجغرافي لهذه المناطق.



شكل (1)

$$\frac{\bar{H}}{H_0} = a + b \frac{\bar{n}}{N} \quad (6)$$

حيث  $\bar{H}$  ثابت يمكن حسابها بالتعويض عن قيم  $\bar{H}$  المقاسة وقيم  $a$  ،  $b$  من المعادلين (2) ، (5) ومن ثم يتم التعويض بقيم  $a$  ،  $b$  الشهرية مرة والمتotas السنوية لها في المعادلة (6) مرة أخرى للحصول على معادلات خاصة بالمناطق يمكن بواسطتها حساب  $\bar{H}$  في حال عدم توافرها.

### 3. تحليل البيانات:

كما أشير سابقاً تم الحصول على البيانات اليومية

$$(H_0)_n = \frac{24}{\pi} I_{sc} E_0 \left( \cos \phi \cos \delta \sin \omega_s + \frac{2\pi\omega_s}{360} \sin \phi \sin \delta \right) \quad (2)$$

حيث  $I_{sc}$  هو ثابت الشمسي ،  $E_0$  و solar constant

$$[5] \quad I_{sc} = 1367 \text{ W/m}^2$$

$$E_0 = 1 + 0.033 \cos(360n / 365)$$

$n$  يوم السنة المراد حساب  $H_0$  له ،  $\phi$  خط عرض المنطقة و  $\delta$  زاوية الميلان التي يمكن حسابها من المعادلة [4] :

$$\delta = 23.45^\circ \sin \left[ \frac{360(284+n)}{365} \right] \quad (3)$$

زاوية ساعة الغروب (Sunset hour angle) وتساوي:

$$\omega_s = \cos^{-1}(-\tan \phi \tan \delta) \quad (4)$$

بينما يحسب طول النهار  $N$  من المعادلة:

$$N = \frac{2}{15} \cos^{-1}[-\tan \phi \tan \delta] \quad (5)$$

وتم تطوير برنامج حاسبي بلغة الفورتران لإجراء الحسابات اللازمة.

غودج الخلستروم [3] من أبسط وأكثر النماذج استخداماً لتقدير المعدل الشهري للقيم اليومية (monthly average daily) للإشعاع الكلي

جدول رقم (1) المحطات المختلفة وموقعها الجغرافي

المناخ	خط العرض	خط الطول	الارتفاع (متر)	المحطة
متوسطي	32°49'	21°49'	626	شحات
شبه متوسطي	32°54'	13°11'	30	طرابلس
صحراوي	29°08'	15°57'	265	عون
صحراوي	24°13'	23°19'	408	الكرفة
صحراوي	14°57'	10°10'	699	غات

للمحطات الخمس ويوضح الشكل (2) والشكل (3) هذا التوزيع لمدينتي شحات والكفرة على التوالي كمثال في حين أن الجدول (2) يبين القيم العظمى والصغرى والمعدل اليومي للإشعاع الشمسي بأبنواعه.

ما تقدم يتضح بشكل عام ارتفاع قيم الإشعاع الشمسي الكلى الساقط على السطح الأفقي طول السنة بالمدن الصحراوية وبشكل خاص خلال الأشهر مايو و يونيو ويوليو بينما ينخفض في يناير وديسمبر حيث يظهر الانخفاض واضحًا بالمدن الساحلية باعتبار أن المدن الخمس المستخدمة تقلل الجماهيرية جغرافياً ويتبين أن المعدل السنوي للإشعاع الشمسي الكلى الساقط على سطح أفقي يتغير من  $9.934 \text{ kW.h/m}^2/\text{day}$  إلى  $4.236 \text{ kW.h/m}^2/\text{day}$  خلال السنة أي أن المتوسط الإجمالي السنوي لكمية الإشعاع الشمسي التي تصل الجماهيرية  $2.695 \text{ MW.h/m}^2$  أما عن الإشعاع المنتشر فقيمة السنوية حوالي  $0.577 \text{ MW.h/m}^2$  وهذا ما يعادل  $0.21\%$  من الإشعاع الكلى الذي يصل سطح الأرض.

الجدير بالذكر هنا أن مدينة شحات تمتاز بارتفاع نسبة الإشعاع المنتشر بها خلال السنة عن المناطق الأخرى مقارنة

بالإشعاع الشمسي الكلى المقاسة وعدد ساعات السطوع للمدن المستخدمة من مركز دراسات الطاقة الشمسية مرجع [1] التي تعطي الفترة الزمنية من 1981 حتى 1987 وهذا يشمل الإشعاعين المنتشر (diffused)  $H_d$  والماهير (direct)، ثم حساب معدل الإشعاع المنتشر من المعادلة :

[14]

$$\frac{\bar{H}_d}{\bar{H}} = 1.0045 + 0.04349 \bar{K}_T^2 + 2.6313 \bar{K}_T^3, \quad \bar{K}_T \leq 0.75 \quad (7.a)$$

حيث  $\frac{\bar{H}}{\bar{H}_0}$  هو معامل الصفاء (clearness index) إذا كان  $\bar{K}_T \leq 0.75$  فإن:

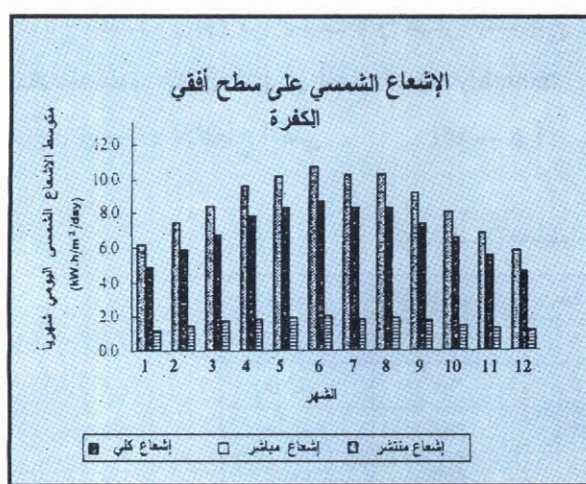
$$\frac{\bar{H}_d}{\bar{H}} = 0.166 \bar{K}_T \quad (7.b)$$

في حين أن معدل الإشعاع الماهير يمكن حسابه من المعادلة:

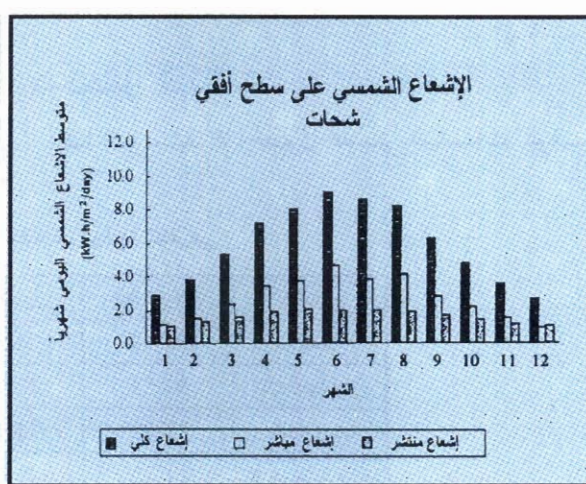
$$\bar{H}_b = \bar{H} - \bar{H}_d \quad (8)$$

#### 4. النتائج والمناقشة:

تم رسم هيستوغرامات (Histograms) (مخطط درجي) باستخدام بيانات الإشعاع الشمسي [1] الإشعاع الشمسي بأبنواعه الثلاثة : الكلى والماهير والمنتشر



شكل (3)



شكل (2)

ومناخ والموقع الجغرافي للمنطقة المراد حساب الإشعاع الشمسي بها ، تم إيجاد قيم الثواب الخاصة بالمناطق الخمس المختارة بالجماهيرية واستبطاط معادلات تجريبية (empirical equations) من نوع معادلة الجليستروم سنوي ونصف سنوي وذلك باستخدام طريقة الملاعمة الخطية ( linear least square fitting) للنسبة  $\frac{\bar{H}}{H_0}$  التي تم حسابها من البيانات المسجلة للقيم الشهرية لفترة السطوع والإشعاع الشمسي الكلي كمتوسط للفترة 1981، 1987 والقيم المحسوبة للمعدل الشهري لطول النهار والمعدل الشهري للإشعاع الشمسي خارج الغلاف الجوي والأشكال (6,5,4) توضح النتائج المتحصل عليها لمدينة طرابلس كمثال لقيمة المدن الأخرى مع حساب  $R^2$  لها.

جدول رقم (2) أقل قيمة للإشعاع الشمسي الساقط على سطح أفقى والمعدل الشهري له (كمتوسط للفترة من 1981-1987) للمحطات الخمس المختارة (بوحدات كيلووات ساعدة/م<sup>2</sup>. يوم)

المدينة	نوع وقيمة الإشعاع		
	H	$H_0$	$H_4$
طرابلس			
دنيا	3.19	2.40	0.93
قصوى	9.88	7.90	1.99
متوسط	6.41	5.47	1.50
شحات			
دنيا	2.61	1.62	1.00
قصوى	9.06	7.09	1.97
متوسط	5.84	4.29	1.55
هون			
دنيا	4.57	3.50	1.07
قصوى	10.82	8.70	2.12
متوسط	7.96	6.34	1.62
غات			
دنيا	5.03	3.95	1.11
قصوى	9.60	7.65	3.95
متوسط	7.60	6.02	1.59
الكفرة			
دنيا	5.60	4.60	1.18
قصوى	10.69	8.68	2.01
متوسط	8.58	8.22	1.64

من الشكل (4) تم الحصول على معادلة تجريبية سنوية تمكنا من حساب المعدل الشهري للإشعاع الشمسي الساقط على سطح أفقى لمدينة طرابلس والمناطق القريبة منها و هي :

$$\frac{\bar{H}}{H_0} = 0.3625 + 0.6212 \frac{\bar{n}}{N}, \quad R^2 = 0.628 \quad (9)$$

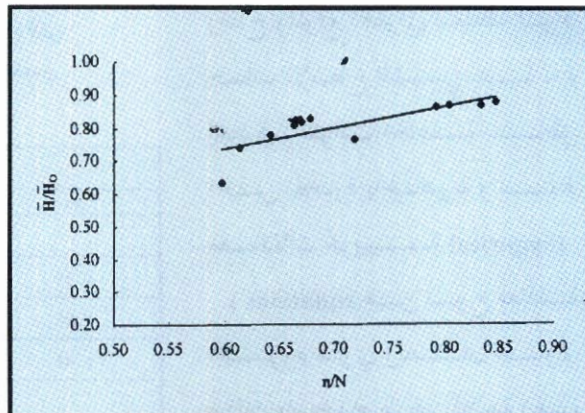
للحصول على نتائج أكثر دقة ، قسمت السنة إلى نصفين نصف صيفي من أبريل حتى سبتمبر وهي الأشهر ذات الإشعاع الشمسي المرتفع التي يتميز جوها بالصفاء نسبيا

بالإشعاع الكلي إذ تصل نسبة كمعدل سنوي إلى 26% من الإشعاع الكلي (ترتفع هذه النسبة إلى 38% شتاء بسبب الغطاء السحابي ) على الرغم من أن كميته إجمالا هي أقل من كمية الإشعاع المنتشر في المناطق الصحراوية كمنطقة غات ومنطقتي هون والكفرة التي ترتفع فيها كمية الإشعاع المنتشر خصوصا خلال الصيف مقارنة بالمناطق الساحلية وذلك بسبب ارتفاع كمية الإشعاع الكلي . قام العديد من الباحثين بحساب بعض القيم للثوابتين a , b [ 11-13 ] وعما أن هذه الثوابت تتحدد حسب طبيعة

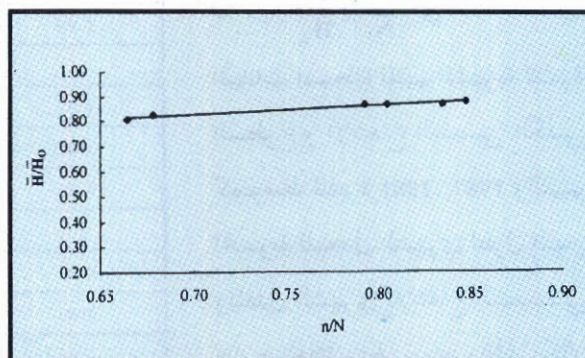
وباستخدام هذه المعادلة نتمكن من الحصول على نتائج أكثر دقة من تقدير الإشعاع الشمسي الكلي الساقط على سطح أفقي خلال الأشهر الحارة، والنصف الآخر شتوي من أكتوبر حتى مارس والمعادلة المميزة لمدينة طرابلس في هذه الفترة من الشكل (6) هي:

$$\frac{\bar{H}}{H_0} = 0.0898 + 1.0281 \frac{\bar{n}}{N}, \quad R^2 = 0.4156 \quad (11)$$

يوضح الجدول (3) قيم الثابتين  $a$ ,  $b$  للمناطق الخمس تحت الدراسة لکامل السنة وللنصفين الصيفي والشتوي بالإضافة لقيم  $a$ ,  $b$  لکامل الجماهيرية. يمكن أيضا استخدام هذه المعادلات بالإضافة للبيانات المقاسة لرسم خرائط كونتورية تمر بالمناطق ذات قيم الإشعاع الشمسي الكلي المتقاربة شهريا أو سنويا وكمثال خريطة (7) تبين توزيع المعدل السنوي للإشعاع الشمسي الساقط على سطح أفقي على الجماهيرية.



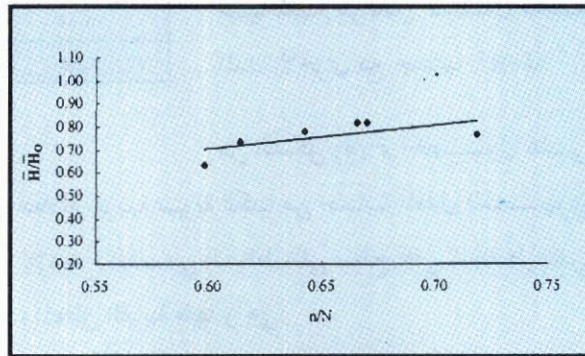
شكل (4)



شكل (5)

## 5. الاستنتاجات:

- تم الحصول على مجموعة من المعادلات التجريبية سنوية ونصف سنوية تمكننا من تقدير قيم الإشعاع الشمسي الساقط على سطح أفقي شهريا لمناطق مختلفة بالجماهيرية ونعتقد أن هذه المعادلات تعطي نتائج جيدة نظرا للتوزيع الجغرافي للمحطات الخمس الذي يغطي كامل الجماهيرية.
- من الجدول (3) نلاحظ أن قيمة الثابت  $a$  ترداد كلما اتجهنا جنوبا والعكس صحيح بالنسبة للثابت  $b$ .
- بناء على هذه المعادلات والبيانات المسجلة عمليا تم وضع الخطوط الكونتورية للإشعاع الشمسي على خريطة الجماهيرية لبيان توزيع الإشعاع الشمسي الساقط على سطح أفقي.



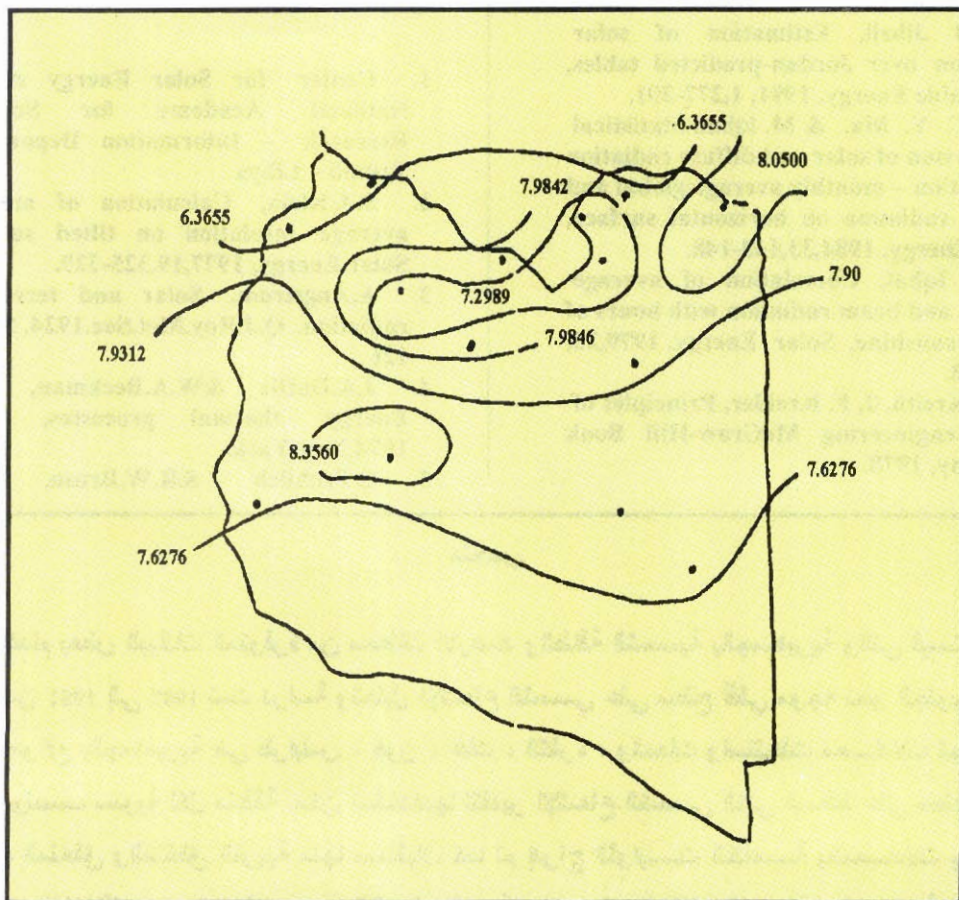
شكل (6)

والمعادلة المميزة لمدينة طرابلس في هذه الفترة من الشكل (5) هي:

$$\frac{\bar{H}}{H_0} = 0.5978 + 0.3258 \frac{\bar{n}}{N}, \quad R^2 = 0.912 \quad (10)$$

جدول رقم (3) قيم الثلبتين a,b بالإضافة لـ  $R^2$  للمناطق الخمس المختلفة للجماهيرية

أكتوبر - مارس			أبريل - سبتمبر			طوال السنة			المدينة
$R^2$	b	a	$R^2$	b	a	$R^2$	b	a	
0.6165	0.5886	0.4285	0.3278	0.2343	0.7332	0.4923	0.4126	0.5772	القفرة
0.2839	0.3475	0.5980	0.5237	0.2224	0.7508	0.4754	0.4391	0.5520	هون
0.0121	0.1134	0.9223	0.2961	0.2474	0.6407	0.0560	0.3665	0.4847	غات
0.4156	0.0281	0.0898	0.9613	0.3258	0.5978	0.6280	0.6212	0.3625	طرابلس
0.6075	0.6303	0.2352	0.5564	0.3633	0.4676	0.8590	0.6869	0.2132	شحات
0.4176	0.7147	0.2839	0.8257	0.2644	0.6481	0.6377	0.503	0.4468	ليبيا



شكل (7) المعدل السنوي للأشعاع الشمسي في الجماهيرية كمتوسط من  
الفترة 1987 - 1981

- radiation variation in time. Sol. Phys., 1981,74,209.
6. M.A. Asaad Characteristic distribution of global solar radiation for Amman, Jordan, Solar & Wind, 1990,7,261-266.
  7. M. Hamdan and A. Al-Sayeh, Diffuse and global solar radiation correlation for Jordan, Int.J. Solar Energy, 1991,10,145-154.
  8. A. A. Flocas, Estimation and prediction of global solar radiation over Greece, Solar Energy, 1980,24,63-70.
  9. A. A. Sfeir, Solar radiation in Lebanon, Solar Energy, 1981,26,497-502.
  10. K. K. Gopinathan, The distribution of global and sky radiation throughout Lesotho, Solar Wind Technol. 1988,5,103-106.
  11. Ziad Jibril, Estimation of solar radiation over Jordan-predicted tables, Renewable Energy, 1991, 1,277-291.
  12. C. C. Y. Ma, & M. Iqbal, Statistical comparison of solar and diffuse radiation correlation – monthly average global and diffuse radiation on horizontal surface, Solar Energy, 1984,33,143-148.
  13. M. Iqbal, Correlation of average diffuse and beam radiation with hours of bright sunshine, Solar Energy, 1979,23, 169-173.
  14. F. Kreith, J. F. Kreider, Principles of solar engineering McGraw-Hill Book company, 1978.

4. لابد من الأخذ في الاعتبار التغيرات المناخية في المناطق المختلفة كدرجة الحرارة والرطوبة والغطاء السحابي وغيرها من التغيرات الجوية والبيئية الأخرى حتى يمكن الحصول على نتائج أكثر دقة وهذا ما نأمل عمله مستقبلا.

#### شكرا:

نقدم بجزيل الشكر لمراكز دراسات الطاقة الشمسية بطرابلس والأستاذ الدكتور صالح أبوغريس ، والأستاذ الدكتور محمد المتصر والأستاذ علي محمد فارس على ما قدموه من مساعدة.

#### المراجع:

1. Center for Solar Energy studies, National Academy for Scientific Research – Information Department, Tripoli – Libya.
2. S.A.Klein, Calculation of monthly average insolation on tilted surfaces, Solar Energy, 1977,19,325-329.
3. A.Angstrom, Solar and terrestrial radiation, Q.J.Roy.Met.Soc.1924, 50,121-126.
4. J.A.Duffie &W.A.Beckman, Solar Energy thermal processes, Wiley, 1974,New York.
5. C.Frohlich &R.W.Brusa, Solar

#### ملخص

باستخدام بعض البيانات المتوفرة من محطات الأرصاد والطاقة الشمسية بالجماهيرية والتي قيست في الفترة من 1981 إلى 1987 تمت دراسة وتحليل الإشعاع الشمسي على سطح أفقى موجه نحو الجنوب في خمسة مواقع بالجماهيرية هي طرابلس ، هون ، غات ، الكفرة ، وشحات واستُنبطت معادلات تجريبية سنوية ونصف سنوية لكل منطقة يمكن استخدامها لتقدير الإشعاع الشمسي الكلى الساقط على سطح أفقى في هذه المناطق والمناطق القريبة منها مستقبلا، كما تم إدراج الثوابت الخاصة بالمعادلات بجدول ونوقشت الاختلافات بين المناطق حسب الظروف البيئية وبناء على البيانات المسجلة والمحسوبة تم رسم خطوط كونتورية على خريطة الجماهيرية لبيان توزيع الإشعاع الشمسي بها.